
**ESTUDIO DE LOS RESTOS ÓSEOS DE LA
NECRÓPOLIS DE RINCONADA DE OLIVARES,
JUMILLA (MURCIA)**

JOSEFINA ZAPATA CRESPO

ENTREGADO: 2000

ESTUDIO DE LOS RESTOS ÓSEOS DE LA NECRÓPOLIS DE RINCONADA DE OLIVARES, JUMILLA (MURCIA)

JOSEFINA ZAPATA CRESPO

INTRODUCCIÓN

Los restos óseos objeto de estudio, fueron extraídos de una necrópolis islámica localizada en Rinconada de Olivares, Jumilla. Los individuos alojados en este lugar, corresponden a dos períodos temporales diferentes, esto es, una minoría pertenece a época tardorromana y el mayor grupo se refiere a época islámica.

Los trabajos de excavación comenzaron en el mes de agosto de 1994, aunque la extracción de los restos óseos, hallados en esta necrópolis, tuvo lugar a partir del 3 de octubre, hasta el 16 de noviembre de este mismo año.

El yacimiento se encuentra enclavado en una zona agrícola, dedicada al cultivo de almendros y viñedos lo que ha influido en el estado de conservación de los restos óseos, ya que en la elaboración de las zanjas, para la introducción de las cepas, se han destruido muchos huesos, apareciendo en estos casos los esqueletos incompletos. También, las raíces de las cepas han contribuido a la erosión y destrucción de los restos óseos, encontrándose los huesos envueltos por ellas, llegando incluso, en algunos casos, a perforarlos. A todo esto hay que añadir, que las sepulturas han estado expuestas a fuertes precipitaciones, quedando el terreno y los huesos totalmente empapados.

MATERIAL Y METODOLOGÍA

Atendiendo a la cronología estimada, los individuos hallados en esta necrópolis constituyen dos grupos de población, pertenecientes a épocas diferentes. De las 104 sepulturas excavadas, 5 son tardorromanas y 99 son islámicas. Además, también se excavó un silo (silo doble E) en cuyo interior se alojaba un osario perteneciente a época tardorromana. Según lo expuesto, el material estudiado ha sido desdoblado, analizándose éste como dos poblaciones diferentes que no guardan relación alguna. Tampoco se

han establecido comparaciones entre ambas, ya que se trata de dos grupos de tamaño muy desigual.

A) NÚMERO MÍNIMO DE INDIVIDUOS

De las 99 tumbas de rito islámico excavadas, 76 contenían restos óseos, siendo éste el número mínimo total de individuos hallados. De éstos, 61 corresponden a individuos adultos y 15 son inmaduros.

Por lo que a los individuos tardorromanos se refiere, se ha encontrado un número mínimo total de individuos de 16. De éstos, 14 son adultos y 2 inmaduros.

ÉPOCA	Nº TUMBAS	NMI	INMAD.	ADULTOS
Islámica	99	76	15	61
Tardorrom.	5	16	2	14

Tabla 1: Número Mínimo de Individuos (NMI) de la muestra de restos óseos extraída, especificando la época, el nº de sepulturas excavadas, así como el nº de individuos inmaduros y adultos que se hallaron de ambas épocas.

B) DISPOSICIÓN DE LOS INDIVIDUOS

Como es frecuente en una necrópolis islámica, el modelo de enterramiento utilizado es sencillo donde un solo individuo se aloja en cada sepultura. En cuanto a la disposición, el cuerpo se halla extendido en posición latero-derecha, con la cabeza en dirección sureste-este. Además, también han aparecido algunos casos en los que los individuos adoptan otras disposiciones, esto es, extendido y latero-izquierdo (tumba 69), decúbito supino y con la cabeza girada hacia el SE (tumbas 16 y 17), y caos de huesos, en general, excepto el cráneo que estaba latero-derecho en dirección SE (tumba 76).

De entre las 99 sepulturas islámicas excavadas, 23 han sido encontradas vacías, sin restos óseos. Pero esto, no quiere decir que las tumbas no fuesen utilizadas, sino que quizá el sedimento haya destruido el hueso. Por ello, se

TUMBA	SEXO	EDAD (años)	TALLA (mm)	TUMBA	SEXO	EDAD (años)	TALLA (mm)
2	alofiso*	adulto	1781	48	alofiso	4-5	-
3	alofiso	33-45	1662	49	alofiso	> 45	-
4	macho	25-35	1710	50	hembra	25-35	1478
5	alofiso	15-17	-	51	alofiso	17-25	1760
6	macho	33-45	1662	52	macho	17-25	1586
7	macho	33-45	1662	53	hembra	> 45	1550
8	macho	33-45	1612	55	macho	> 45	-
9	alofiso	9-10	-	56	hembra	17-25	-
10	hembra	17-25	1588	57	macho	> 45	1576
11	macho	25-35	1636	58	alofiso	> 45	1624
12	macho	25-35	1674	59	alofiso	adulto	-
13	macho	adulto	1608	64	macho	> 45	1561
14	alofiso	inmaduro	-	65	alofiso	7-8	-
15	hembra	17-25	1617	66	macho	> 45	1637
16	alofiso	adulto	-	67	alofiso	25-35	-
17	hembra	17-25	1539	68	alofiso	2-3	-
18	alofiso	inmaduro	-	69	hembra	25-35	-
20	alofiso	8-9	-	70	alofiso	25-35	-
21	alofiso	4-5	-	71	hembra	17-25	1576
22	alofiso	25-35	1603	72	alofiso	6-7	-
23	macho	25-35	1676	73	macho	25-35	1550
28	hembra	17-25	1563	75	hembra	25-35	1703
29	alofiso	inmaduro	-	76	alofiso	inmaduro	-
30	hembra	33-45	-	77	alofiso	10-12	-
31	alofiso	8-9	-	79	alofiso	25-35	-
32	alofiso	adulto	-	80	alofiso	> 45	1555
33	alofiso	adulto	1493	82	hembra	17-25	-
34	alofiso	adulto	-	83	alofiso	> 45	-
36	alofiso	25-35	1564	84	alofiso	adulto	-
38	alofiso	25-35	1614	85	hembra	25-35	1612
40	alofiso	adulto	-	87	alofiso	17-25	-
41	alofiso	25-35	-	95	hembra	17-25	1643
42	alofiso	33-45	-	97	macho	25-35	-
43	alofiso	3-4	-	98	macho	17-21	1655
44	alofiso	adulto	-	99	alofiso	25-35	1563
45	macho	17-25	1688	100	macho	25-35	1655
46	alofiso	adulto	1688	103	alofiso	33-45	1655
47	alofiso	17-25	-	106	alofiso	17-21	-

Tabla 2: Parámetros biológicos de los individuos islámicos.
 *: Alofiso significa de caracteres ambiguos, indeterminado.

han recogido muestras de sedimento de algunas de estas tumbas, tanto del techo (el encontrado al rebajar las capas más superficiales de sedimento) como del lecho de la tumba (donde se supone que debió estar alojado el esqueleto) para analizar ambos y contrastar las composiciones.

Por lo que respecta a la disposición adoptada por los individuos tardorromanos, se ha hallado un osario (silo doble E), y disposición decúbiteo-supino con el cráneo girado levemente hacia el SE, pero sin intencionalidad, siendo alojados además en la misma sepultura, dos o más individuos (tumbas 81, 92, 93, 104, 105).

En cuanto a la metodología utilizada hay que puntualizar que estos restos óseos son susceptibles de posteriores estudios, como por ejemplo el ADN (Ácido desoxirribonucleico). Teniendo en cuenta esta premisa, se ha planteado un método de extracción de los restos, de la manera más aséptica posible, evitando así la mayor contaminación de material genético exógeno. Para ello, todo el personal que ha estado en contacto directo con los huesos ha utilizado guantes de látex y mascarillas.

Por otra parte, hay que señalar que las fuertes precipitaciones acaecidas, durante el período de excavación, han dificultado, enormemente, la labor de recuperación de los esqueletos, ya que no sólo el agua ha inundado las fosas donde estaban alojados los individuos, sino que además ha influido en el estado de fragmentación de los huesos.

Al material óseo no se le ha aplicado ningún tipo de tratamiento químico, que actuase de consolidante porque la amplia mayoría de restos se presentaban en éstas condiciones y entonces, se habría retrasado mucho el tiempo de excavación, y además porque la introducción de sustancias de este tipo en el hueso, puede alterar la composición del mismo, impidiendo posteriores análisis y estudios.

Para la estimación del sexo, se ha seguido la metodología indicada por Rissech y Malgosa (1997) para adultos.

En cuanto a la estatura, se ha obtenido a partir de las ecuaciones de regresión propuestas por Pearson (Olivier 1969, pág. 289), excepto en dos casos, en los que se ha estimado la talla utilizando la fórmula propuesta por Fully y Pineau (Olivier 1969, pág. 284). Para la determinación de este parámetro, se ha utilizado como material de medición una tabla osteométrica y un pie de rey.

En la determinación de la edad biológica, se han seguido varios criterios:

- Secuencia de erupción y número de piezas deciduales y permanentes propuesta por Schour y Massler (Hillson, 1996).
- Grado de desgaste oclusal de los molares (Brothwell 1987, pág.108).
- Sinostosis de la sutura esfenoidal-occipital.
- Grado de obliteración de las suturas craneales.

Por último, todos los datos obtenidos y que a continuación se exponen, han sido recogidos en una ficha de campo individual durante el proceso de excavación.

REPRESENTACIÓN DE LA EDAD BIOLÓGICA, SEXO Y TALLA

Con el fin de facilitar la lectura de los parámetros biológicos de cada individuo, los resultados vienen recogidos en dos tablas, Tabla 2 "Población islámica" y Tabla 3 "Población tardorromana".

TUMBA	Nº INDIV.	DISPOS.	SEXO	EDAD (años)
105	1	dcs	alofiso	adulto
silo doble E	5*	osario 2	1? + 4 alof.	adulto ³

Tabla 3: Relación de las sepulturas tardorromanas, en las que se expone el número mínimo de individuos alojados, la disposición adoptada por los restos óseos y la estimación de los parámetros sexo y edad de los individuos.

1: decúbiteo supino (dcs).

2: arrinconado (arrinc.).

(a): individuo de arriba (más moderno).

(b): individuo de abajo (más antiguo).

***: además de los restos óseos humanos, se halló el esqueleto de un perro inmaduro, así como astillas de hueso de animal.**

3: De los 5 individuos, sólo se ha podido estimar la edad de 3, siendo de 17-25 años en un caso y de 33-45 años en los otros dos casos.

Según lo expuesto en la Tabla 2, se puede comentar que:

- De los 76 restos óseos extraídos, 61 corresponden a individuos adultos y 15 pertenecen a individuos inmaduros. De los adultos se ha podido estimar el sexo de 32 individuos de los que 18 son machos y 14 hembras el resto de adultos junto con los inmaduros han sido clasificados como alofisos, es decir, individuos cuyo sexo no puede ser determinado, bien por presentar caracteres ambiguos, o por ausencia de elementos óseos medibles.
- Tras estimar la edad del 80,26 % del total de 76 individuos, se considera que la muestra de restos óseos extraída es representativa a nivel de edad, ya que ofrece individuos de todas las edades. De los valores de edad de mortalidad, estimados en el grupo de individuos adultos, se desprende un máximo referido al intervalo que va de los 25 a los 35 años. En cuanto a la mortalidad infantil, hay que puntualizar que el bajo número de individuos inmaduros estudiados, frente al de adultos, es principalmente consecuencia de que se hallaron muchas sepulturas, de dimensiones reducidas, vacías por destrucción de los restos óseos. Conviene aclarar, por otra parte, que el término "inmaduro" engloba a los individuos infantiles y juveniles.
- En cuanto a la talla de los individuos, ha sido estimada en función de la longitud máxima de los huesos largos, siendo la tibia el hueso más utilizado. Aunque se ha

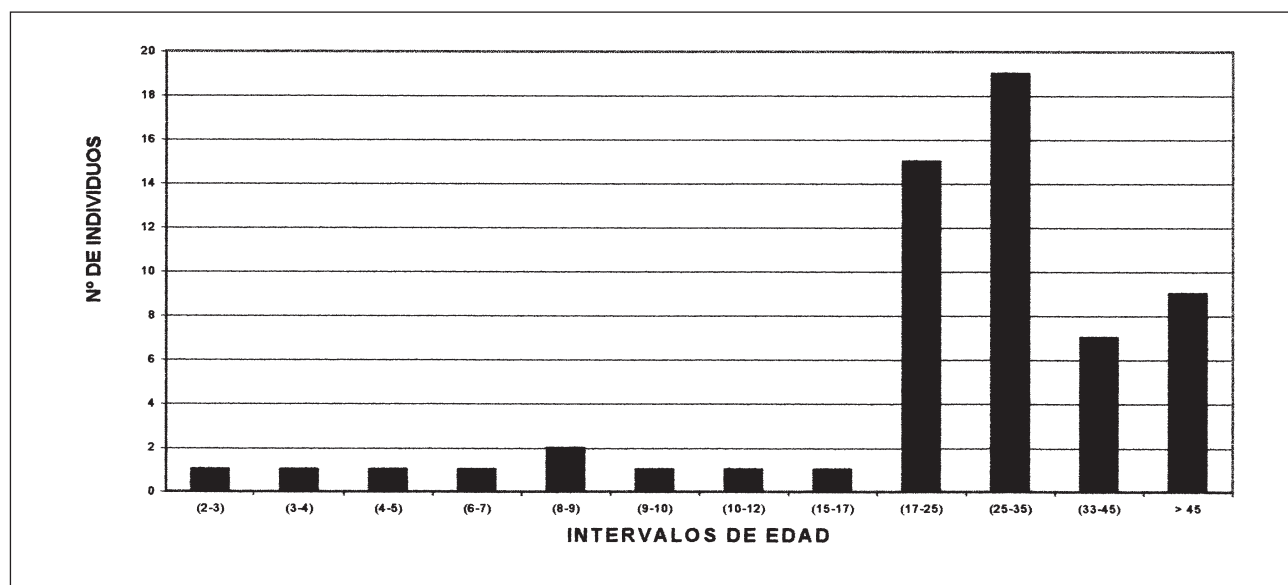


Gráfico 1: Distribución de individuos por edad.

hallado la estatura de 38 individuos adultos (excepto uno, cuya edad se ha establecido entre los 17 y 21 años) la talla media se ha determinado utilizando sólo los valores de los individuos cuyo sexo ha podido ser hallado, quedando excluidos los alofisos. En virtud de esto, la estatura media para los individuos masculinos (n=17) es de 1634,25 mm y de 1586,9 mm para los femeninos (n=11).

RASGOS CRANEOMÉTRICOS

Las tablas 4 y 5 recogen las medidas craneales de algunos individuos islámicos, separándolos por sexo.

TUMBA	Lmáx.	Anch.máx.	Alt. Bas-B
4	187	140	144
7	192	133	138
8	195	136	137
12	186	131	143
45	203	133	140
57	180	—	126
64	193	132	130
66	191	140	140
73	186	135	142
97	181	131	136

Tabla 4: Medidas craneales estimadas a los machos de época islámica. L.máx.: Longitud máxima; Anch.máx.: Anchura máxima; Alt. Bas-B: Altura Basibregmática. Todas las medidas están expresadas en milímetros.

TUMBA	Lmáx.	Anch.máx.	Alt. Bas-B
17	171	135	134
28	190	129	—
30	193	135	136
50	179	133	134
53	183	136	140
56	189	133	131
82	185	135	137
85	193	143	143

Tabla 5: Medidas craneales estimadas a las hembras de época islámica. L.máx.: Longitud máxima; Anch.máx.: Anchura máxima; Alt. Bas-B: Altura Basibregmática. Todas las medidas están expresadas en milímetros.

PATOLOGÍAS

Los rasgos patológicos observados en los individuos islámicos son escasos, refiriéndose, por lo general, a signos artrósicos localizados en la columna y en la articulación de la rodilla. Todos los casos de patología postcraneal hallados, están recogidos en la tabla 6, y descritos más ampliamente en las fotografías.

En relación a las patologías estomatológicas, recogidas en la tabla 7, se han encontrado algunos ejemplos, tanto mandibulares como maxilares, en los que se aprecia algún caso de hipoplasia dental así como una considerable reabsorción alveolar, debido quizá a afecciones periodontales.

En cuanto a los aspectos patológicos observados en los individuos tardorromanos, hay que destacar un interesante

ejemplo perteneciente a la tumba 104, se trata de una fractura de fémur, a nivel del tercio distal, en la que al no producirse una alineación de las dos partes resultantes, tras la fractura, la neoformación se produjo entre las dos porciones diafisarias dispuestas en paralelo, quedando de este modo acortada esta extremidad inferior (fotografía 13). También, en la sepultura 81, tardorromana, se ha encontrado otro caso de fractura producida en un radio, en la zona media diafisaria, quedando la parte proximal desplazada respecto a la distal, (fotografía 14).

CONCLUSIONES

Conviene apuntar, ante todo, que la necrópolis no ha sido excavada en su totalidad, sino parcial y selectivamente, por lo que la colección de restos óseos, no reúne las condiciones científicas necesarias para que sea considerada como un muestreo, estrictamente, al azar.

Cuando se realiza una extracción incompleta del material arqueológico existente en un yacimiento, ya sea por razones temporales, económicas, o porque se quiere dejar intacta una zona para futuros estudios, hay que tener muy claro, que al no descubrir todo el yacimiento, no se puede

tener una idea totalmente real de lo que allí se aloja. Partiendo de esta base, también se asume que, para el caso que nos ocupa, los datos obtenidos de la muestra de restos óseos estudiada, se ciñen a ese tamaño muestral, aunque pueden dar una idea general de la población que alberga esta necrópolis.

Una vez hecha esta precisión, se pasará a realizar una valoración global de los resultados obtenidos, tras la estimación de algunos parámetros biológicos.

De las 104 sepulturas excavadas en esta necrópolis, sólo se comentarán los resultados referidos a las tumbas de época islámica, ya que como se ha comentado, sólo se han encontrado 5 sepulturas tardorromanas, que ofrecen un número reducido (15 especímenes) de individuos, frente a los 76 islámicos.

El conjunto de esta población de época islámica, está constituido por individuos de ambos sexos, en proporciones similares, y de todas las edades. Además, al comparar la talla media poblacional con la de poblaciones actuales, se desprende la "tendencia secular" que experimentó el crecimiento de los individuos, tras el desarrollo tecnológico; variaciones éstas que han sido recogidas en estudios realizados por el Dr. J.M.Tanner, entre otros.

TUMBA	PATOLOGÍA
3	Signos osteofíticos y acuñaamiento del cuerpo vertebral, desde la 3ª dorsal a la 5ª lumbar.
4	1ª vért. lumbar con apófisis transversa izda (12 mm) menor que la dcha (20 mm). La 5ª lumbar con las apófisis transversas en proceso de sacralización.
6	De la 4ª a la 11ª vért. dorsal los cuerpos presentan signos osteofíticos, a modo de "pico de loro" sólo de la 8ª a la 10ª.
7	Cóndilo femoral izdo con rebordes osteofíticos, así como la rótula izda. Prolongaciones osteofíticas en los cuerpos de la 11ª dorsal a la 5ª lumbar. La 6ª y 7ª cervical, así como la 3ª lumbar presentan signos osteoporóticos. Sutura metópica visible en toda su longitud.
8	Signos osteofíticos de la 4ª a la 12ª vért. dorsal, también presentes en la 5ª lumbar.
12	Cóndilo femoral derecho reducido.
13	Prolongaciones osteofíticas desde la 1ª a la 5ª vért. lumbar, con acuñaamiento de los cuerpos hacia la derecha. Cabeza femoral derecha con giro anormal hacia la vertical.
23	Fusión del axis a la 3ª vért. cervical.
33	Signos osteofíticos en la 10ª vért. dorsal.
38	Signos osteofíticos en dos vért. dorsales y en la 5ª lumbar.
52	La cabeza femoral derecha presenta giro hacia la horizontal.
55	De la 1ª a la 5ª vért. lumbar se observa un acuñaamiento de los cuerpos, con aumento de éste de la 1ª a la 5ª.
57	1ª vért. lumbar con cuerpo acuñado. 2ª y 3ª lumbar con prolongaciones osteofíticas.
66	Prolongaciones osteofíticas de la 6ª a la 11ª vért. dorsal, con ligero acuñaamiento del cuerpo.
73	Acuñaamiento del cuerpo vert. de la 5ª lumbar en orden decreciente hasta la 2ª. También se observa en la 9ª y 10ª dorsal.

Tabla 6: Patologías postcraneales de los individuos islámicos.

Además, por lo que respecta a los rasgos craneométricos estimados, se ha observado que éstos individuos guardan relación con los de otras series mediterráneas estudiadas.

Atendiendo a los aspectos patológicos estudiados, hay que comentar, que de los 61 adultos sólo se han encontrado 15 casos con signos artrósicos, lo que representa el 24,59 % del total de adultos, correspondiendo 7 de los casos a individuos masculinos. Aunque, el porcentaje de

individuos en los que se observa esta patología es bajo, es de destacar que aparezca sobre todo en hombres, lo cual puede atender a los sobreesfuerzos realizados por éstos en las labores del campo.

Por último, es de señalar la importancia de los resultados obtenidos en esta necrópolis, ya que la muestra de sepulturas excavadas refleja el uso de esta necrópolis por grupos de individuos que se suceden en el tiempo.

TUMBA	HIPOPLASIA	CARIES	REABS. ALVEO
3	C sup.e inf ^l .	-	1M y M1 ^{sup} .
4	C y P sup.	-	-
5	I y C sup. e inf.	-	reducción de corona de P1 sup.
6	anterior sup.	-	-
7	anterior sup. e inf.	2M y P2 inferior ocluso-cervical con detrucción de corona.	ausencia de M2, 1M y 2M sup. Nota: absceso radical en P1 sup.
12	-	M y P sup. ocluso cervical	-
23	-	-	rama mandib. izda.
33	-	-	rama mandib. izda. y dcha.
45	anterior sup. e inf.	2P inf. cervical sin corona.	-
47	C sup. e inf.	-	-
50	-	-	2M sup.
51	anterior sup. e inf.	1M y M1 sup. cervical sin corona.	2M y M1 inf.
53	-	-	fuerte en molares.
55	-	-	considerable en mandíbula y maxilar.
56	-	C sup. cervical sin corona.	considerable en ramas mandibulares.
58	anterior sup. e inf.	-	-
64	-	-	ramas mand.
65	anterior inf.	-	-
58	anterior sup. e inf.	-	-
64	-	-	ramas mand.
65	anterior inf.	-	-
67	I laterales y C sup.	-	ramas mandibulares.
70	I y P cervical sin corona.	-	-
75	-	-	rama maxilar dcha.
83	-	-	ramas mandib. excepto zona anterior.
84	anterior sup.	-	-
95	-	M ocluso- cervical	-
98	C inferiores.	-	-
99	-	-	rama mandib. dcha de P2 a M3.
100	I y C sup. e inf.	-	molares inf.
103	I sup. y C sup. e inf.	-	-
106	I y C sup. e inf.	-	-

Tabla 8: Patologías estomatológicas de los individuos islámicos.

C: canino; I: incisivo; P: premolar; M: molar.

I: sup. e inf.= superiores e inferiores.

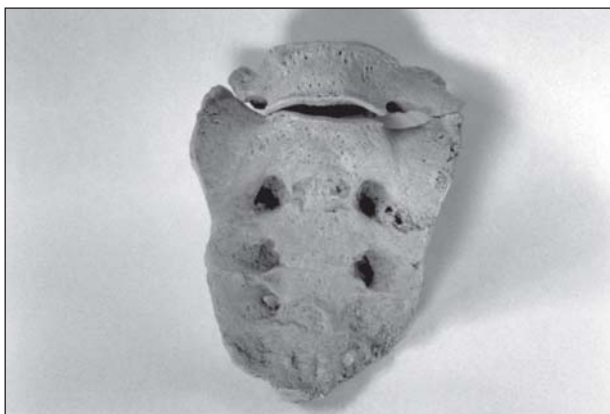
*: 1M y M1 se refiere a primer molar izdo y dcho respectivamente.

BIBLIOGRAFÍA

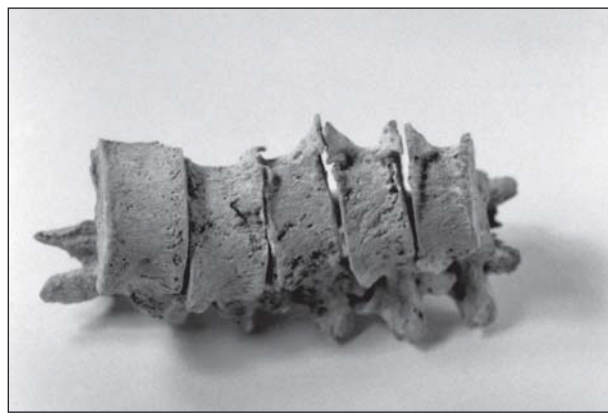
- ASH, M.H., 1986, *Anatomía dental, Fisiología y oclusión de Wheeler* (México 4, D.F.: Nueva Editorial Interamericana).
- BROTHWELL, D.R., 1987, *Desenterrando huesos* (Londres, British Museum Natural History).
- CAMPILLO, D., 1993, *Paleopatología: Los primeros vestigios de la enfermedad* (Barcelona, Fundación Uriach 1838).
- COMAS, J., 1966, *Manual de Antropología Física* (México, D.F., Universidad Nacional Autónoma de México).
- DE LA RÚA, D., 1985, *El cráneo vasco: morfología y rasgos craneofaciales* (Vizcaya, Ed. Elexpuru, S.A.L.).
- HARRISON, G.A., TANNER, J.M., PILBEAM, D.R., BAKER, P.T., 1988, *Human Biology* (Oxford Science Publications).
- HILLSON, S., 1996, *Dental Anthropology* (Cambridge).
- MARTIN, R., 1926, *Lehrbuch Der Anthropologie* (Stuttgart, Fisher

Verlag) págs.440-448.

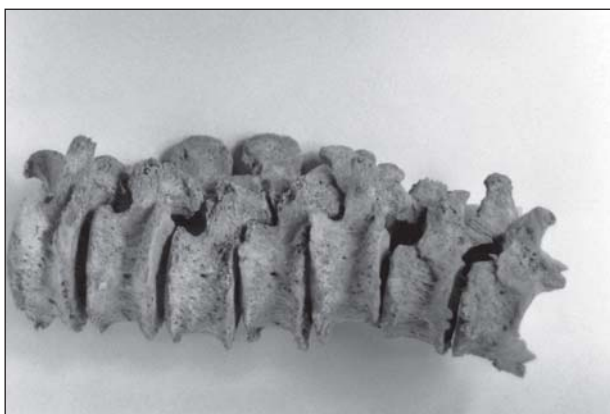
- OLIVIER, G., 1969, *Practical anthropology* (Springfield, Charles Thomas).
- ORTNER, D.J., AUFDERHEIDE, A.C., 1991, *Human Paleopathology* (Smithsonian Institution).
- Rissech, C. and Malgosa, A., 1997, Sex prediction by discriminant function with central portion measures of innominate bones. *Homo* vol.48/1, pp.22-32.
- SHIPMAN, P., WALKER, A., BICHELL, D., 1985, *The Human Skeleton* (Harvard University Press).
- TANNER, J.M., 1986, *El hombre antes del hombre* (México D.F., Fondo de Cultura Económica).
- TESTUT, L., LATARJET, A., 1983, *Tratado de Anatomía Humana*. Tomo nº1: Osteología-Artrología-Miología (Barcelona, Salvat).
- WALKER, M.J., 1988, *Ensayo de caracterización de poblaciones del Sureste Español, 3000 a 1500 a.J.C.* (Universidad de Murcia).



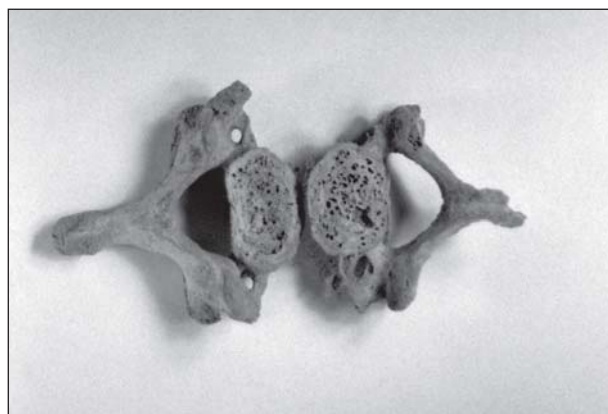
Fotografía 1: Sacralización parcial, lateral izquierda, de la 5ª vértebra lumbar al sacro, encontrada en el individuo de la tumba 4.



Fotografía 2: Ejemplo de signos artrósicos encontrados en algunas vértebras dorsales pertenecientes al individuo de la tumba 6. En este caso, se pueden apreciar osteofitos a modo de "pico de loro" localizados de la 8ª a la 10ª vértebra dorsal.



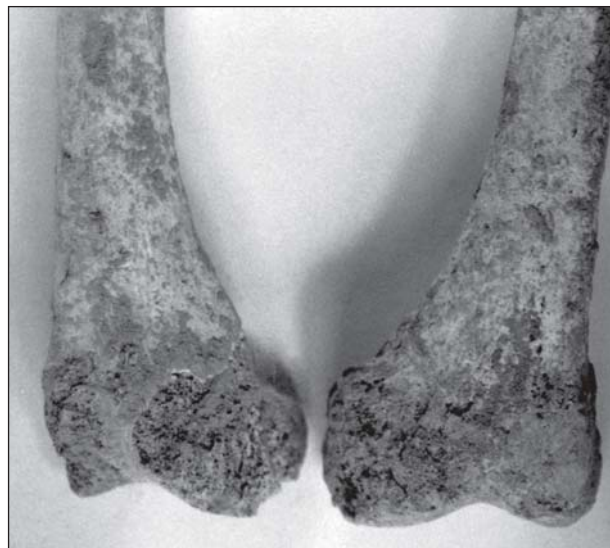
Fotografía 3: Columna vertebral perteneciente al individuo de la tumba 7, en la que se aprecian prolongaciones osteofíticas en los cuerpos de la 11ª dorsal hasta la 5ª lumbar; así como un notable acúñamiento del cuerpo de esta última vértebra.



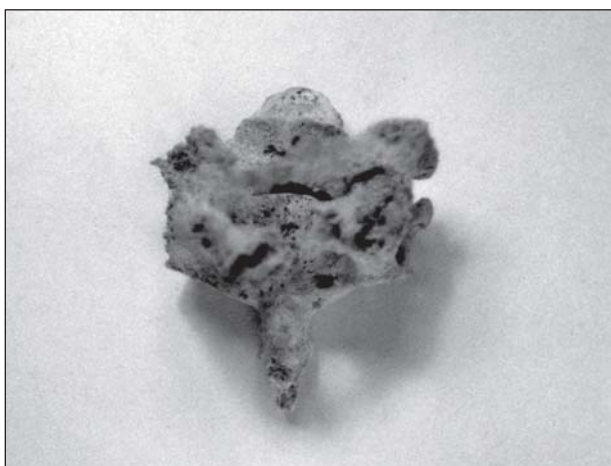
Fotografía 4: Ejemplo de signos osteoporóticos encontrados en los cuerpos de la 6ª y 7ª vértebras cervicales, pertenecientes al individuo de la tumba 7.



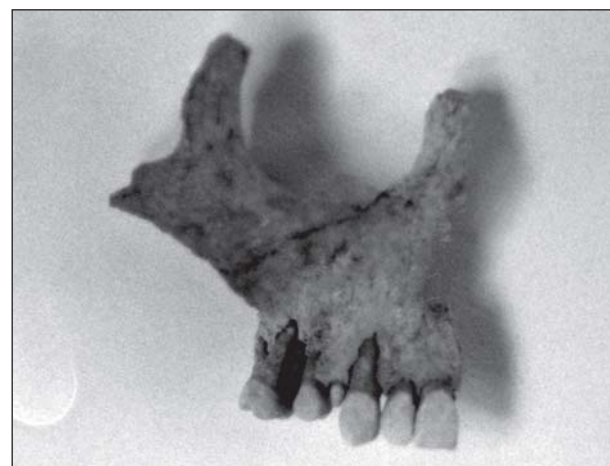
Fotografía 5: Cóndilos femorales pertenecientes a la tumba 7, en los que se observan rebordes osteofíticos laterales.



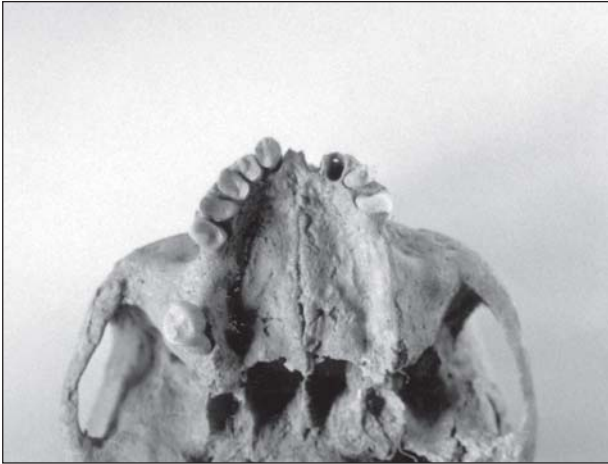
Fotografía 6: Cóndilo femoral derecho deformado y reducido, referente a la tumba 12.



Fotografía 7: Fusión del axis a la 3ª vértebra cervical.



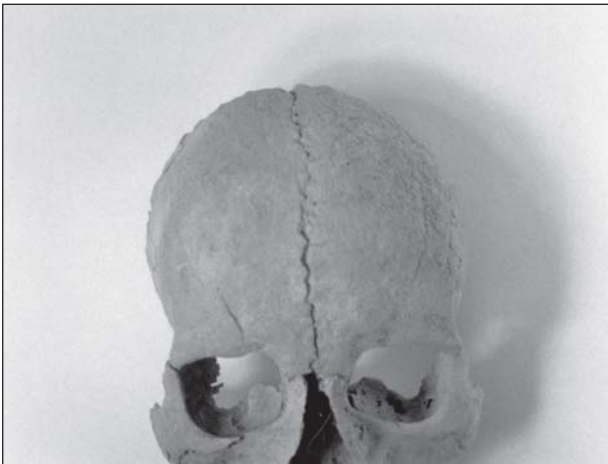
Fotografía 9: En la tumba 5 se ha encontrado un individuo que presenta, el primer premolar superior derecho con la corona reducida, como muestra la fotografía.



Fotografía 10: En este caso se ilustra un maxilar correspondiente a la tumba 53, en el que se observa una fuerte reabsorción alveolar, apreciándose principalmente en el lateral izquierdo, a partir del segundo premolar, aunque también hubo pérdida ante-mortem del primer y segundo molar derechos. Además, este ejemplo muestra un notable desgaste dentario.



Fotografía 11: Maxilar correspondiente a la tumba 7, en el que se observa la cavidad formada a la altura del primer premolar derecho, consecuencia de un foco radical.



Fotografía 12: Cráneo perteneciente a la tumba 7 en el que se observa la sutura metópica, visible en toda su longitud.



Fotografía 13.



Fotografía 14.